

논문 21-8-11

나노층상실리케이트가 충진된 에폭시-나노콤파지트의 열적특성 연구

Thermal Characteristics of Epoxy-Nanocomposites filled Several Types Nano Layered Silicate Particles

박재준^{1,a)}
(Jae Jun Park^{1,a)}

Abstract

A large number of studies on the various characteristics of epoxy-layered silicate nanocomposites, such as electric and mechanical, morphology have been conducted and contributed to improve their characteristics. However, studies on the effects of its thermal conductivities in the thermal properties are not enough, even though there are some excellent evaluations for its insulation performances. Thermal properties will cause thermal degradation and significantly affect the reliability of these epoxy-layered silicate nanocomposites. In the results of the analysis of epoxy-layered silicate nanocomposites T_g for various types of organoclays (10A, 15A, 20A, 30B, and 93A), it showed an excellent thermal property of 10A. Also, it represented low values in storage modulus and mechanical Tan (Delta) at a high temperature section 140 °C and excellent thermal properties due to its movement to the high temperature section in the case of the property of 10A in the measurement of DMA elastics and mechanical losses. In the results of the measurement of thermal conductivities, power ultrasonic applications represented a significant increase in thermal conductivities in the case of the applications of power ultrasonic and planetary centrifugal mixers. Based on these results, it is necessary to perform related studies because it can be applied as useful materials for future power facilities applications in mold and impregnate insulation.

Key Words : Epoxy-organoclay nanocomposites, DSC, DMA, Thermal conductivity

1. 서 론

근래에 점진적으로 증가하는 전력 수요로 인한 전력망의 초고압화로 인하여 전력기기의 신뢰성 증대와 소형화 및 경량화 그리고 고성능화가 요구되고 있다. 이런 이유로 종래에 사용되는 절연재료로는 소형화 및 경량화 그리고 고신뢰성에 많은 문제를 갖고 있다. 이런 문제점 즉, 마이크로 크기

의 충진제를 에폭시수지에 충진한 몰드형 절연 또는 핵침절연 등으로 사용된 마이크로콤파지트는 종종 충진입자 와 수지사이 계면들이 약점으로 작용되어 절연에 치명적인 영향을 주어 급격하게 절연이 파괴되는 결과를 맞이하게 된다. 몰드형 전력기기는 절연물내로 권선이 핵침되어 있기에 권선에서 발생된 주울 열과 같은 열에너지가 원활히 외부로 전송될 수 있다면 즉, 절연과 동시에 우수한 열전도를 갖는 나노복합재료의 개발이 필요한 것이다. 몰드형 전력기기의 대부분은 F종 절연재료로서 열에 노출되어 있기에 열적 신뢰성 향상이 필요한 것이다.

본 연구에서는 상기와 같은 문제점인 절연과 열적인 성능향상을 위해, 에폭시기반 Organoclay 나

1. 종부대학교 전기전자공학과
(충남 금산군 추부면 대학로 101)

a. Corresponding Author : jjpark@joongbu.ac.kr

접수일자 : 2008. 6. 16

1차 심사 : 2008. 7. 7

심사완료 : 2008. 7. 22

나노콤포지트를 전력설비 절연시스템인 고압 전동기, 발전기 고정자권선(Stator Winding) 몰드 및 함침 절연 재료, 건식타입 몰딩변압기, CT/PT전력기기 성능을 향상시키는데 필수불가결 한 것이다. 이처럼 전력설비의 동작동안 절연은 전기적 스트레스 뿐만 아니라 기계적 스트레스 즉, 발전기 고정자권선의 경우 발전기 운전 중 발생되는 전자력에 의한 가진 주파수인 120 Hz 부근에 고유 특성이 분포되어 권선 공진의 가능성이 비교적 높게 나타나며, 이는 발전기 운전에 따른 진동에 의한 권선을 구속하고 있는 절연재들의 구속력이 감소되어 강성이 저하된 점이 주원인으로 보고하고 있다[1]. 이와 같이 절연재료에는 다중스트레스가 일어난다. 그렇지만 고분자 메트릭스 자체만으로는 이와 같은 다중로드를 견디어야 하는 어려움이 있다. 또한 전류가 이동하는 도체에 의해 발생된 열을 잘 방출시킬 수 있고 고온에 양호한 절연을 가질 수 있는 나노복합절연재료 개발을 위해 물리적 분산기법인 강력초음파법과 유성원심 분리기법을 적용하여 분산시킨 나노콤포지트를 제조하여 열적인 특성인 DSC(유리전이온도), DMA(동적 기계적 분석), 열전도를 통하여 나노콤포지트 열적인 특성을 연구하였다.

2. 재료 및 나노콤포지트 제조

Diglycidyl ether of bisphenol-A의 Epoxy resins (DGEBA, EPOKUKDO_YD_128, KUKDO. Chem. co, Korea)와 산무수물계(Hardener of Acid Anhydride : HN-2200) 경화제를 사용하여 경화하였다.

본 연구에 사용된 Nanoclay는 Southern Clay Products로부터 구입된 제품으로 Cloisite®10A, 15A, 20A, 93A, 30B는 5종류를 사용하였으며, 천연의 몬모릴로나이트(montmorillonite:MMT)를 정제하여 Quaternary ammonium cations이 MMT Clay 표면에 NA⁺로 치환시켜 이온교환작용(Ion exchange reaction)으로 생산된 제품이다.

에폭시-Organoclay_10A 나노콤포지트를 강력초음파 적용을 통하여 60분 동안 가진된 경우를 이전의 발표된 논문[8]과 동일한 과정의 교반과 탈포과정을 통하여 제작된 나노콤포지트를 샘플로 사용하였다.

3. 결과 및 고찰

3.1 DSC(Differential scanning calorimeter : Tg)

그림 1은 원형 에폭시 수지의 경화거동을 보여

주고 있다. 경화의 시작은 Glassy 상태에서 유리전이온도로 변화가 되는 120 °C 근방에서 시작되어 고무 안정상태(Rubber Plateau)로 이행되어 170 °C에 마지막 반응을 나타내는 그래프이다. 측정 자료에 의하면 원형에폭시수지의 유리천이온도는 129.49 °C이다.

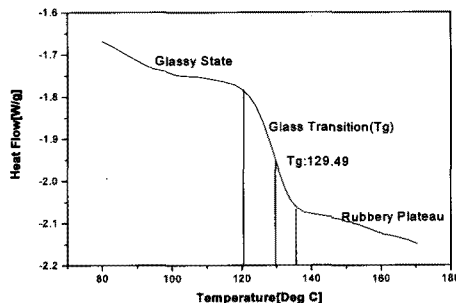


그림 1. 에폭시 원형수지의 DSC 특성.

Fig. 1. DSC characteristics of epoxy unfilled resins.

그림 2에서는 5가지 종류 Epoxy/Organoclay 중요한 열적특성 중 하나인 유리천이온도(Tg)의 측정된 특성을 나타내고 있다. 에폭시-나노콤포지트의 층상실리케이트는 Cloisite 10A, 15A, 20A, 93, 30B 다섯 가지의 나노콤포지트이다. 10A의 유리천이온도는 140.7 °C, 15A에서는 138.3 °C, 20A는 137.7 °C 그리고 93A에서는 133.2 °C, 30B는 129.3 °C로 측정되었다. 그 중 가장 우수한 Tg값을 나타내는 나노콤포지트는 Organoclay_10A로서 원형에폭시수지와 비교하여 볼 때 11.2 °C 향상된 열 특성을 갖고 있다. 그러나 나머지 나노콤포지트도 원형에폭시 수지에 비하여 8.8 °, 8.2 °, 3.7 °등 다소간의 차이는 있지만 대체적으로 향상된 Tg값을 가지고 있다. 유리천이온도의 향상은 나노콤포지트의 물성뿐만 아니라 모든 재료에 물성의 변화가 시작되는 분기점이다. 유리천이온도는 화학적 구성 그리고 가교도 또는 분자상호관계에 의존하는 고분자 특성이다. 유리천이온도는 명확하게 정의하면, 에폭시 시스템에서 가교정도의 측정으로 사용되어 진다. 유리천이온도가 상온에서 존재하게 되면 고무처럼 항상 유연성을 유지하게 되며 열에 취약한 특성을 나타낸다. 그러나 고온에서 유리천이온도가

존재하게 되면 내부적으로 고분자 주 체인들이 강한 결합을 이루고 있어 열에 대한 저항성이 우수하다는 평가를 받는다. 본 연구의 결과로서 T_g 값은 X-RD의 경우에서 d-spacing의 효과와는 관계가 없게 보인다. 이와 같이 유리전이온도는 기계적 강도, DMA특성, 유전특성, 그리고 고온에서의 전류특성에 영향을 주는 중요한 요소이다.

T_g 값이 원형 epoxy에 대해서 각기 다른 이유에 대해서 아직도 명확하지 않다. 분자량[2], 자유체적 밀도[3], 에폭시와 Organoclay사이 계면의 접착[4], 다양한 이유를 가지고 있다.

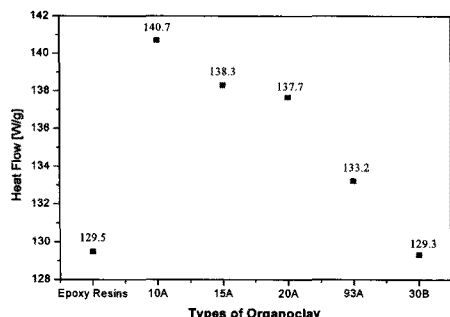


그림 2. 여러종류의 에폭시-organoclay 나노 콤파지트의 DSC 특성.

Fig. 2. DSC characteristics of epoxy - nanocomposites for several types organoclay.

3.2 동적기계적 분석(Dynamic mechanical analyzer)

그림 3에서는 여러 종류의 Epoxy/Organoclay 나노콤파지트의 점탄성을 측정하여 가장 우수한 특성을 갖는 나노콤파지트 종류를 선정하는 것이다. 충상실리케이트 충진함량은 5 wt%로 일정하게 하였다. 점탄성의 열적 의존성에서 storage modulus (E'), loss modulus(E'') 그리고 $\tan(\Delta)$ = $\frac{E''}{E}$ 이

2-Point Bend인 DMA을 이용하여 측정되어졌다. 측정주파수는 120Hz의 주기적인 스트레스를 주었고, 온도범위는 30 °C~190 °C까지 측정하였다. 탄성계수의 측정된 결과를 보면 40 °C의 상태는 유리상태로서 탄성도 높은 유리상으로 존재하게 된

다. 유리전이온도 이상에서는 점성도가 높은 고무상(Rubber Plateau)형태로 존재하게 된다. 따라서 유리전이온도 이전 40 °C에서의 경우 원형에폭시 수지와 여러 종류 나노콤파지트를 비교하면 유리상태에서는 30B의 나노콤파지트가 가장 우수한 결과를 나타내었고, 고무상태인 140 °C에서는 30B의 경우 원형에폭시수지에 비하여 현격하게 떨어지는 탄성계수 즉 177 MPa를 나타내었다. 그러나 10A의 경우 189 MPa가 향상되는 탄성계수를 나타내었다. 또 다른 나노콤파지트도 50~112 MPa가 향상되는 특성을 나타내었다. 이와같이 고온부인 고무상태에서 탄성계수는 유리천이온도에 지배적인을 알 수 있다. 10A의 유리천이온도는 140.7 °C, 15A에서는 138.3 °C, 20A는 137.7 °C 그리고 93A에서는 133.2 °C, 30B는 129.3 °C로 측정된 결과와 비교 검토를 하면 10A가 가장 높은 탄성계수를 30B의 경우는 유리천이온도가 원형에폭시 수지보다 낮은 측정으로 볼 때 현격한 감소를 나타내었다. 종류별 탄성계수의 편차는 크지 않았고, 유리상태의 경우는 원형에폭시와 유사한 탄성계수를 갖고 있음을 알 수 있었다. 충상실리케이트의 많은 양은 그들의 응집에 기여하여, 나노콤파지트 특성 향상에 장해가 된다. 또한 탄성계수의 증가는 고분자 체인의 완화 이동도는 에폭시 충상 실리케이트 계면에서 제한되는 효과로 기인된다[2]. 따라서 외부에너지 즉, 온도와 주파수에 대한 각각의 나노콤파지트의 탄성계수 변화에서 충상실리케이트의 10A 첨가는 원형에폭시수지에 뿐만 아니라 다른 함량의 나노콤파지트에 비하여 고온에서 열적, 기계적으로 우수함을 나타내는 중요한 증거가 된다.

그림 2 기계적손실 특성은 온도 변화에 따른 120 Hz인 주기적 스트레스를 시편에 주어질 때 발생되는 기계적 손실을 나타내고 있다. 기계적 손실피크는 여러종류 나노콤파지트 중 10A가 가장 낮은 손실 값을 나타내었고, 발생되는 온도도 가장 높은 170.51 °C에서 기계적 손실을 나타내었다. 손실피크기의 감소는 10A의 경우가 0.1246만큼 감소되었고, 피크 발생온도 역시 8.72 °C높은 온도에서 발생됨을 알 수 있었다. 기계적 손실의 경우도 전반적인 나노콤파지트가 원형에폭시 수지에 비하여 대체로 낮은 손실 값을 보여주고 있다. 이와같이 나노콤파지트가 유리천이온도를 넘는 고무상태에서 기계적 손실이 작은 결과를 통하여 나노콤파지트가 열적, 기계적으로 우수한 절연재료임을 입증시키고 있다.

표 1. 여러종류의 에폭시-유기화된 층상실리케이트 나노콤포지트 기계적 탄성계수.

Table 1. Mechanical storage modulus of several types epoxy-organoclay nanocomposites.

종류별	40 °C		140 °C	
	Storage Modulus	증감 (MPa)	Storage Modulus	증감 (MPa)
Epoxy Resins	2424	0	1795	0
Epoxy/Organoclay_10A	2438	+14	1984	+189
Epoxy/Organoclay_15A	2460	+36	1845	+50
Epoxy/Organoclay_20A	2424	0	1899	+104
Epoxy/Organoclay_93A	2407	-17	1907	+112
Epoxy/Organoclay_30B	2531	+107	1618	-177

표 2. 여러 종류의 에폭시-유기화된 층상실리케이트 나노콤포지트 기계적 손실.

Table 2. Mechanical loss of several types epoxy-organoclay nanocomposites.

종류별	Tanδ Amplitude	Peak Temperature °C	Tg
Epoxy Resins	0.9731	161.79	155
Epoxy/Organoclay_10A	0.8485	170.51	163
Epoxy/Organoclay_15A	0.8448	168.29	159.76
Epoxy/Organoclay_20A	0.8708	168.25	159.75
Epoxy/Organoclay_93A	0.9095	160.52	155.61
Epoxy/Organoclay_30B	0.8621	164.52	158.25

3.3 열전도 분석(Thermal conductivity analysis)

고압전동기 고정자권선 절연과 건식용 몰딩변압기과 같은 전기기기 절연재료는 각각의 소선에서 발생하는 전류에 의하여 열이 발생 된다. 발생된 열이 내부에서 발생되면 절연체 내부와 외부의 온도차가 생긴다. 이런 온도차가 열의 흐름을 형성하게 된다. 이때 발생된 열의 흐름이 열류로서 열전

달의 기본원리가 된다. Laser flash 기법을 이용하여 열확산(thermal diffusibility)과 비열용량(specific heat capacity)은 다음 방정식으로 샘플재료의 벌크밀도에 대한 부가적 정보 측정을 추가시켜 열전도도를 계산 할 수 있다.

방정식은 다음과 같다.

$$K = a \rho C_p \quad (1)$$

여기서 K는 열전도도, a는 열확산, ρ는 벌크밀도, C_p 는 비 열용량이다. 측정에 사용된 샘플은 8×8×2 mm 평판 형으로 확산을 얻을 수 있었다.

열전도 특성은 절연재료 및 도전성재료 등의 물성연구에 있어서 뿐만 아니라 고압전력설비 시 절연 설계 시 중요한 특성 중 하나이다. 열전도가 낮으면 결국 내부 및 외부환경에서 발생된 열에너지로 인하여 열적 열화 가속 원인이 되어 진다.

표 3에서는 에폭시 메트릭스에 Organoclay_10A를 직접 함량별로 혼합하여 원심분리기법을 적용하여 분산시켜 제조된 샘플과 1차 원심분리기법으로 교반과 탈포과정을 통해 분산시켜 얻은 나노필러의 충진 함량별로 혼합된 분산 체를 강력초음파(Sonics & Materials Inc, Power: 750 Watt, Frequency : 20 kHz)에 적용하여 60분 동안 분산시켜 제조된 나노콤포지트 샘플의 열전도 측정결과를 나타내었다. Organoclay_10A 충진 함량을 증가시킨 콤포지트의 열전도 결과 강력초음파의 적용 유무에 따라 큰 차이를 볼 수가 있었다.

전반적인 경향으로 충진 함량 증가에 따라 무충진 에폭시 수지 와 비교하여 볼 때 전반적으로 증가하는 결과를 나타내었다. Planetary Centrifugal Mixer을 적용한 경우와 비교결과 충진 함량 증가에 따라 강력초음파적용 시 상당히 큰 증가폭으로 열전도 향상을 가져왔다. 또한 측정온도가 증가할수록 증가 폭이 더욱 크게 나타남을 볼 수 있다. 전반적으로 열전도는 온도에 강한 의존성을 나타내고 있으며, 30 °C와 150 °C의 경우를 비교하여 볼 때 고온부 열전도 특성이 특히 양호한 결과를 나타내었다. 이에 대한 결과를 표 3에 나타내었다.

이에 매한 결과를 검토 하여 볼 때 Epoxy-Organo clay_10A 나노콤포지트는 에폭시 메트릭스에 층상실리케이트 분산으로 층상실리케이트 충간 간격 즉, d-spacing의 증가는 TEM, X-RD를 통해서 증가되어짐을 볼 수 있었다. 층상실리케이트가 적층형상으로 열적 박리된 경우 평균 층상실리케이트의 자유 경로와 전송로가 높게 만들어지게 되어 초음파 적용 시 열전도의 향상을 가져오는

것으로 사료되며[5], 충진 함량의 증가에 따라 열전도의 증가는 상온에서보다 고온으로 갈수록 열전도의 향상이 크게 나타났다. 저온인 30 °C에서 열전도가 낮게 나타난 경우는 분자의 주쇄나 측쇄의 이동이 둔화되고 반면에 고온으로 이동할수록, 열용량은 분자나 체인진동의 정도가 크게 되어진 결과로 볼 수 있다. Thomas K.-K. Yang[6], Pendent 기의 진동과 Skeletal 두 가지에 의해 결정 된다 보고하고 있으며, 실내온도에서 고분자에 대해서 열용량의 독특한 역할은 분자사이 것보다 오히려 분자 내 진동에 의해 작용되기 시작하여 고분자 backbone으로 더욱 빠르게 열에너지 전송이 이루어지기 때문으로 보고하였다. 그러나 상대적으로 미량인 1 wt%의 충상실리케이트를 충진 한 경우 오히려 원형수지보다 낮은 열전도를 볼 수가 있다. 또한 균질분산과 비 균질분산에서 비 균질인 경우 오히려 열전도가 저하되는 하나의 원인이 될 수가 있다. 결과적으로 볼 때 향후 열전도 향상을 위해서 근본적인 에폭시수지의 향상을 통해서 달성될 것으로 본다. H. Pernot[6], Y. Takezawa[7], Keiji Fukushima[8] 에폭시수지는 만일 mesogen이 나노미터의 고도의 배열이 되면 더욱더 높은 열전도를 나타내고 있다. mesogen들은 그들 자체의 어셈블리(모임)을 통하여 고도로 배열되어지고 그리고 스캐터링(scattering)의 감소에 의하여 열적 전도도가 향상된다.

표 3. Epoxy/Organoclay_10A 나노콤포지트의 충진 함량별 열전도 특성.

Table 3. Thermal conductivity characteristics of filled contents for epoxy-organoclay_10A nanocomposites.

열전도	Epoxy Resins	1wt%		3wt%		5wt%		9wt%		
		축정	증감 (%)	축정	증감 (%)	축정	증감 (%)	축정	증감 (%)	
30도	Planetary Centrifugal Mixer	0.162	0.153	-59	0.164	1.2	0.17	49	0.174	7.4
	Power Ultrasonic		0.169	4.2	0.186	14.8	0.181	11.7	0.177	9.2
70도	Planetary Centrifugal Mixer	0.181	0.171	-5.8	0.187	3.3	0.19	49	0.197	8.8
	Power Ultrasonic		0.184	1.6	0.196	6.5	0.202	11.6	0.199	9.9
110도	Planetary Centrifugal Mixer	0.199	0.185	-7.56	0.2	0.5	0.201	1	0.203	2
	Power Ultrasonic		0.194	-2.5	0.211	6	0.211	6	0.229	15
150도	Planetary Centrifugal Mixer	0.21	0.208	-9.6	0.232	10.4	0.235	11.9	0.24	14
	Power Ultrasonic		0.216	2.8	0.236	12.3	0.243	15.7	0.247	17.6

4. 결 론

초음파를 적용하여 분산 시 Epoxy/Organoclay_10A 나노콤포지트의 함량별 분석결과 및 여러종류에 폭시-Organoclay 나노콤포지트의 열적특성에 대해 연구한 결과 다음과 같은 결론을 얻었다.

1. 여러종류 에폭시-Organoclay 나노콤포지트의 DSC 특성

10A의 유리천이온도는 140.7 °C, 15A에서는 138.3 °C, 20A는 137.7 °C 그리고 93A에서는 133.2 °C, 30B는 129.3 °C로 측정되었다. 그 중 가장 우수한 Tg값을 나타내는 나노콤포지트는 Organoclay_10A로서 원형에폭시수지와 비교하여 볼 때 11.2 °C 향상된 열 특성을 갖고 있다.

2. 여러종류 에폭시-Organoclay 나노콤포지트의 DMA특성

Organoclay 10A가 가장 높은 탄성계수를 30B의 경우는 유리천이온도가 원형에폭시수지보다 낮은 측정으로 볼 때 현격한 감소를 나타내었다. 종류별 탄성계수의 편차는 크지 않았고, 유리상태의 경우는 원형에폭시와 유사한 탄성계수를 갖고 있음을 알 수 있었다. 충상실리케이트의 많은 양은 그들의 응집에 기여하여, 나노콤포지트 특성 향상에 장해가 된다. 또한 탄성계수의 증가는 고분자 체인의 완화 이동도는 에폭시 충상 실리케이트 계면에서 제한되는 효과로 기인된다.

기계적손실 특성은 온도 변화에 따른 120 Hz인 주기적 스트레스를 시편에 주어질 때 발생되는 기계적 손실을 나타내고 있다. 기계적 손실 피크는 여러종류 나노콤포지트 중 10A가 가장 낮은 손실 값을 나타내었고, 발생되는 온도도 가장 높은 170.51 °C에서 기계적 손실을 나타내었다. 손실크기의 감소는 10A의 경우가 0.1246만큼 감소되었고, 피크 발생온도 역시 8.72 °C높은 온도에서 발생됨을 알 수 있었다. 기계적 손실의 경우도 전반적인 나노콤포지트가 원형에폭시 수지에 비하여 대체로 낮은 손실 값을 보여 주었다. 이와같이 나노콤포지트가 유리천이온도를 넘는 고무상태에서 기계적 손실이 작은 결과를 통하여 나노콤포지트가 열적, 기계적으로 우수한 절연재료임을 입증시키고 있다.

3. Epoxy-Organoclay_10A 나노콤포지트의 강력초음파 처리 와 미 처리에 따른 열전도 특성연구

Laser flash 기법을 이용하여 에폭시-Organoclay 나노콤포지트의 강력초음파 적용 시와 미적용 시에 대한 열전도 특성을 연구 한 결과 원형에폭시

수지에 비하여 강력초음파를 60분 적용한 나노콤포지트가 전반적인 결과에서 향상된 결과를 얻었다. 측정온도(30, 70, 110, 150 °C) 및 함량(1, 3, 5, 7, 9 wt%)에 따라 열전도의 결과 온도의 증가와 함께 열전도 증가에 비례성을 나타내었고, 함량의 변화에 따라 열전도의 비례성은 발생하지 않았다. 그러나 150 °C 환경 하에서는 충진함량의 증가에 따라 비례하여 증가하는 결과를 얻었다.

참고 문헌

- [1] 김희수, 배용체, 이두영, 김연환, 이현, “발전기 운전에 따른 고정자 권선의 진동 특성 변화”, 한국소음진동공학회 2006년 춘계학술대회논문집, p. 1029, 2006.
- [2] Y. Y. Sun, Z. Zhang, and C. P. Wong, “Study on mono-dispersed nano-size silica by surface modification for underfill applications”, Journal of Colloid and Interface Science, Vol. 292, p. 436, 2005.
- [3] X. F. Yao, H. D. Zhou, and H. Y. Yeh, “Macro/microscopic fracture characterization of SiO₂/epoxy nanocomposites”, Aerospace science and Technology, Vol. 12, p. 223, 2008.
- [4] J. M. Brown, D. Curliss, and R. A. Vaia, “Thermoset-layered silicate nanocomposites quaternary ammonium MMT with primary diamine cured epoxies”, Chem. Mater., Vol. 12, p. 3376, 2000.
- [5] B. Debelak and K. Lafdi, “Use of exfoliated graphite filler to enhance polymer physical properties”, Carbon, Vol. 45, p. 1727, 2007.
- [6] Thomas K.-K. Yang, Stanley H. Y. Tsai, S. F. Wang, and C.-C. Juan, “Dielectric and thermal studies of inorganic microfillers on polymer microwave substrate metallocene cyclized olefin copolymer (COC)”, Composites Science and Technology, Vol. 62 No. p. 655, 2002.
- [7] Y. Takezawa, M. Akatsuka, and C. Farren, “High thermal conductive epoxy resins with controlled high order structure”, IEEE 7th ICPADM, p. 1146, 2003.
- [8] K. Fukushima, H. Takahashi, and Y. Takezawa, “High thermal conduction resin composites with controlled nanostructure for electric devices”, IEEJ Trans. FM, Vol. 126, No. 11, p. 236, 2006.
- [9] J. J. Park, “Dielectric properties of epoxy/organically modified layered silicate nanocomposites”, J. of KIEEME(in Korean), Vol. 21, No. 2, p. 188, 2008.